# МОСКОВСКИЙ ГОСУДАРСТВЕННЫЙ УНИВЕРСИТЕТ имени М.В.ЛОМОНОСОВА

На правах рукописи

Волынец Андрей Владимирович

# ЭКСПЕРИМЕНТАЛЬНОЕ ИССЛЕДОВАНИЕ КИНЕТИКИ АТОМОВ В $N_2/O_2$ ПЛАЗМЕ ОПТИЧЕСКИМИ МЕТОДАМИ

Специальность 01.04.15 – Физика и технология наноструктур, атомная и молекулярная физика

АВТОРЕФЕРАТ

диссертации на соискание учёной степени кандидата физико-математических наук

Работа выполнена в отделе микроэлектроники Научно-исследовательского института ядерной физики имени Д.В. Скобельцына Московского государственного университета имени М. В. Ломоносова.

Научный руководитель: Рахимов Александр Турсунович

доктор физико-математических наук, профессор

Официальные оппоненты: Лебедев Юрий Анатольевич

доктор физико-математических наук

ИНХС РАН им. А. В. Топчиева

и. о. зав. лабораторией «Плазмохимия и физикохимия

импульсных процессов»

главный научный сотрудник

Акишев Юрий Семёнович

доктор физико-математических наук, профессор

АО «ГНЦ РФ ТРИНИТИ»,

начальник лаборатории кинетики слабоионизованной

плазмы

Медведев Вячеслав Валерьевич

кандидат физико-математических наук ИСАН, отдел атомной спектроскопии

старший научный сотрудник

Защита диссертации состоится "\_\_\_" \_\_\_\_ 2019 г. в \_\_\_\_ — на заседании диссертационного совета МГУ.01.05 Московского государственного университета имени М.В. Ломоносова по адресу: 19-й корпус МГУ, аудитория 2-15, Ленинские горы, д 1, стр. 5, 119991, Москва.

E-mail: nav19iv@gmail.com

С диссертацией можно ознакомиться в отделе диссертаций научной библиотеки МГУ имени М.В. Ломоносова (Ломоносовский просп., д.27) и на сайте ИАС "ИСТИНА": https://istina.msu.ru/dissertations/239753659/

Автореферат разослан "\_\_\_" октября 2019 года

Ученый секретарь диссертационного совета МГУ.01.05, к.ф.-м.н.

) Н. А. Власова

#### Общая характеристика работы

#### Актуальность темы исследования и степень её разработанности

Одной из основных прикладных задач физики низкотемпературной плазмы является её применение в современной микроэлектронике [1]. В этой области плазма играет важнейшую роль для технологий осаждения и травления тонких плёнок – технологиях, известных как ALD и ALE (atomic layer deposition\etching), необходимых для развития технологий с топологическим размером 20 нм и ниже [2]. Применение плазмы в данных технологиях даёт целый ряд преимуществ: в скорости протекания химических процессов, в уменьшении требуемых температур подложки и газа, а также в возможности добиться высокой анизотропии и селективности [3]. Наряду с ионами, излучением, электронно-возбужденными молекулами, атомы (такие как атомы О и N) являются ключевым реактивными частицами (радикалами) при взаимодействии плазмы с поверхностью в микротехнологии, определяя как протекание необходимых поверхностных реакций, так и вызывая нежелательные повреждения современных наноструктурных материалов микроэлектроники (таких как low-k диэлектрики) на различных технологических этапах [4]. Для точного управления реакциями на поверхности и минимизации повреждений, необходимо контролировать плотность атомов в плазме, для чего необходимо разработать подходы к измерению плотности атомов, которые могут быть воспроизведены в условиях индустриальных реакторов. Поэтому применение верифицированных оптических методов является важной задачей. Это необходимо для экспериментального изучения кинетики атомов О и N в плазме и их взаимодействия с поверхностью разрядной камеры. Естественно, что наилучшие методы диагностики плазмы – это те, которые позволяют проводить исследования *in situ*, не искажая её свойства. Поэтому сегодня широко распространены методы оптической эмиссионной спектроскопии, наиболее известным из которых является метод актинометрии, который обычно используется для определения относительных концентраций частиц (например, атомов) в плазме. Однако, для определения абсолютных концентраций этим методом требуется знание соответствующих сечений возбуждения электронным ударом изучаемых частиц. Такие данные достоверно известны лишь для немногих атомов, встречающихся в микротехнологии. Так, например, сечения, необходимые для актинометрии атомов N и F, получены только теоретически (с помощью квантово-механического расчёта) и никак не верифицированы экспериментально. Поэтому, точность этих данных может быть низкой, а значит, и метода актинометрии.

Большинство фундаментальных исследований, посвящённых кинетике атомов в плазме чистых газов, проводились в диапазоне низких давлений (<10 Торр). С ростом давления становится значительно сложнее поддерживать стационарный стабильный неравновесный разряд. Кроме того, диагностика методом зонда Ленгмюра перестаёт работать при таких давлениях. Поэтому, в этом случае такие исследования в основном опираются на оптические диагностики и моделирование разряда. Количество исследований, проведённых в промежуточном диапазоне давлений (~10-100 Торр) чрезвычайно мало. Между тем, работа в промежуточном диапазоне давлений позволяет изучать кинетику атомов при относительно низких значениях приведённого поля Е/N, а также наблюдать переход к режимам, когда объёмные процессы начинают играть важную роль. Изучение этих вопросов важно для активно развивающейся технологии Plasma-

Епһапсеd ALD (PE-ALD), позволяющей выращивать однородные и конформные плёнки в необходимых для микроэлектроники трёхмерных структурах сложных форм и высоким отношением глубины к ширине (аспектным отношением). Как правило, в этой технологии используются либо низкие давления (менее 1 Торр), либо близкие к атмосферному [5]. Заполнение ниши промежуточных давлений представляет интерес в связи с развитием уже существующих подходов и решения возникающих проблем, а также для возможных будущих приложений. В работе [6] отмечается, что использование PE-ALD при средних давлениях (~4-6 Торр) позволяет добиться большей концентрации радикалов, а значит и их потоков. Благодаря этому повышается скорость процесса роста плёнок, а также, удаётся обеспечить рост однородной плёнки даже в удалённых от поверхности подложки зонах вытравленных 3-D микроструктур — например, на дне канавок подложки (trenches) с высоким аспектным отношением. При этом, конечно, происходит конкуренция между увеличением плотности радикалов и их гибелью на стенках микроструктур. Поэтому, важно также исследовать вопросы о взаимодействии радикалов с поверхностью материала подложки — данные о скорости соответствующих потерь радикалов на поверхности представляют большую ценность.

Вторая часть данной диссертации (главы 2 и 3) как раз посвящена экспериментальному изучению кинетики атомов N и O в плазме чистых газов N2 и O2 в слабоизученной области промежуточных давлений с помощью оптических диагностик и теоретического моделирования плазменных процессов. В данном случае оптические диагностики включают в себя пространственнои время-разрешённую актинометрию, определение газовой температуры по спектру свечения разряда, спектроскопию поглощения. Теоретическая часть включает в себя аналитическое моделирование поверхностных и объёмных потерь атомов, а также самосогласованное моделирование всего разряда (для атомов N). Отметим также, что изложенное здесь исследование кинетики атомов О является комплементарным независимой работе [7], посвящённой той же задаче, однако для диапазона низких давлений (0.2-10 Торр), более высоких значений Е/N и относительно слабого разогрева газа. Причём, ряд используемых диагностик являются общими для обеих работ, а процессы поверхностных и объёмных потерь изучаются с помощью одной и той же комбинированной аналитической модели. Кроме того, в работе [7] применяется самосогласованная одномерная модель, включающая наиболее полную кинетическую схему процессов в О2 плазме (такую модель следует рассматривать, как независимый численный эксперимент). Всё это позволит создать непротиворечивую и полную картину процессов образования и потерь атомарного кислорода в плазме в широком диапазоне условий, а также косвенно верифицировать использованные подходы (диагностики и модели).

#### Цели работы

Таким образом, коротко основные цели данной работы могут быть сформулированы следующим образом:

- 1. Верификация метода актинометрии для измерения плотности атомов О и N.
- 2. Исследование процессов, определяющих плотность атомов О и N в стационарной плазме соответствующих чистых газов О<sub>2</sub> и N<sub>2</sub> промежуточного диапазона давлений.

#### Задачи, необходимые для достижения поставленных целей

#### 1. Верификация метода актинометрии для измерения плотности атомов О и N

- Получение (функции распределения электронов по энергии) ФРЭЭ в плазме во всех рассматриваемых условиях при помощи зондовой диагностики (зонд Ленгмюра) в выделенной области разряда.
- Проведение измерений относительных концентраций атомов О и N методами массспектрометрии и актинометрии в той же области разряда. Валидация актинометрического сечения возбуждения атомов N.
- Получение набора актинометрических коэффициентов в широком диапазоне разрядных условий и сравнение с литературными данными. Изучение влияния формы ФРЭЭ на коэффициенты (а значит, и на результаты актинометрии). Изучение поведения актинометрических коэффициентов в случаях различного соотношения между энергиями излучающих актинометрических состояний атома и актинометра и температуры электронов (их средней энергии в не-максвелловских случаях).

## 2. Исследование процессов, определяющих плотность атомов N в стационарной плазме N<sub>2</sub> промежуточного диапазона давлений

- Определение ключевых характеристик разряда *in situ*: газовой температуры, приведённого поля, относительной концентрации атомов.
- Определение вероятности рекомбинации атомов N на стенке разрядной камеры в зависимости от разрядных условий (методом пространственно-разрешённой актинометрии).
- Создание аналитической модели процессов на поверхности кварцевой разрядной камеры и анализ с помощью этой модели полученных данных по вероятности рекомбинации атомов азота на поверхности стенки.
- Определение интегральной константы скорости диссоциации в зависимости от разрядных условий на основе всей совокупности полученных экспериментальных данных. Анализ этих данных с помощью независимого самосогласованного 1-D моделирования разряда.

### 3. Исследование процессов, определяющих плотность атомов О в стационарной плазме О2 промежуточного диапазона давлений

- Определение ключевых характеристик разряда *in situ*: газовой температуры, приведённого поля, концентрации озона, концентрации атомов в различных точках разряда.
- Определение полной скорости потерь атомов кислорода в плазме в зависимости от разрядных условий несколькими независимыми методами: с помощью пространственно- и время-разрешённой актинометрии, а также с помощью независимой комбинированной аналитической модели поверхностных и объёмных потерь. Анализ экспериментальных результатов для полной скорости потерь атомов О с помощью этой модели.

#### Объект и предмет исследования

Объектом исследования главы 1 является метод актинометрии в приложении для измерения концентрации радикалов в плазме. В качестве предмета исследования является актинометрия атомов О и N, что включает в себя, в первую очередь, верификацию сечения возбуждения состояния N(3p <sup>4</sup>P<sup>0</sup>), необходимое в актинометрии атомов азота. Во-вторых, изучается влияние неопределённости в знании ФРЭЭ на результаты актинометрии – то есть, исследуется вопрос о том, насколько меняется величина актинометрического коэффициента при изменении формы ФРЭЭ. Источником информации о ФРЭЭ в данной работе является зондовая диагностика Ленгмюра, позволившая наблюдать ФРЭЭ различных типов в плазме рассмотренных газов (O<sub>2</sub>, N<sub>2</sub> и SF<sub>6</sub>).

В исследованиях, изложенных в главах 2 и 3, объектом исследования является кинетика атомов азота и кислорода в плазме чистых газов ( $N_2$  и  $O_2$ , соответственно) в промежуточном диапазоне давлений (~10-100 Topp). То есть, изучаются процессы образования (диссоциации) и потерь (рекомбинации) атомов — определяются скорости этих процессов в зависимости от разрядных условий и изучаются их механизмы. В случае атомов азота (глава 2) предметом исследования являются процессы образования и гибели атомов N в плазме положительного столба (ПС) тлеющего разряда постоянного тока при давлениях 5-40 Topp. В случае атомов кислорода (глава 3) предметом исследования являются процессы образования и гибели атомов О в плазме ВЧ емкостного разряда при давлениях 10-100 Topp. В обоих случаях (N и O), разрядные установки были специально спроектированы таким образом, чтобы эффективно применять различные оптические диагностики — методы спектроскопии излучения и поглощения. Материал стенок разрядной камеры являлся диэлектрическим (кварцевое стекло). Цилиндрическая геометрия разрядов и их симметрия позволили упростить моделирование процессов, происходящих в объёме разряда и на поверхности разрядной камеры.

#### Научная новизна

- 1. Разработан метод экспериментальной верификации теоретических атомных сечений возбуждения, используемых в актинометрии. Метод опирается на одновременное применение локально в одной и той же области плазмы трёх независимых диагностик: актинометрии, массспектрометрии и зонда Ленгмюра. Применение разработанной методики на практике позволило впервые экспериментально верифицировать актинометрические сечения для атомов N и F то есть, были впервые получены поправочные коэффициенты для амплитуды этих теоретических сечений. Проанализирована степень влияния неопределённости формы ФРЭЭ на точность актинометрии.
- 2. Важной особенностью исследования кинетики атомов N, изложенного здесь, является то, что, в отличие от других работ на эту тему, степень диссоциации, скорость гибели атомов азота и газовая температура определяются непосредственно в разряде (т.е. *in situ*) с помощью оптических диагностик. По этим данным можно достоверно получить интегральную по всем возможным каналам (т.н. «эффективную») константу скорости диссоциации молекул N<sub>2</sub> в плазме промежуточного диапазона давлений в зависимости от разрядных условий (что и было сделано). Отметим, что этот диапазон давлений сам по себе изучен слабо как правило исследования проводятся или для малых давлений (<1 Торр), или давлений порядка атмосферного и даже выше.

Не менее важная особенность данной работы заключается в том, что параллельно исследование велось с помощью самосогласованной одномерной модели разряда, которая может рассматриваться как независимый численный эксперимент. Кинетическая схема модели включает в себя наиболее актуальный на сегодняшний день набор плазмохимических процессов и данных по скоростям протекания этих процессов, сечений взаимодействий и т.д. При этом обеспечивалась синхронизация обоих подходов: сравнивались результаты для величин ключевых характеристик разряда (поле в плазме, газовая температура, степень диссоциации и константа скорости диссоциации). Примеров подобных исследований данной проблемы в литературе не существует, к нашему сведению. Именно эта синхронизация эксперимента и модели разряда позволила решить вопрос о том как именно протекают ряд ключевых экзотермических процессов с участием колебательновозбуждённых молекул основного электронного состояния  $N_2(X, v)$ , молекул и атомов в нижних электронных состояниях – было показано, что энергия преимущественно трансформируется в энергию колебаний  $N_2(X, v)$ , а не выделяется в виде тепла. Как можно видеть далее в соответствующем разделе, наблюдается очень хорошее согласие эксперимента и предсказаний модели. Но главным итогом этого экспериментально-теоретического подхода стало то, что из многочисленных известных каналов диссоциации молекул  $N_2$  в плазме впервые был выделен основной канал для рассматриваемых условий: диссоциация через возбуждение прямым электронным ударом предиссоционных состояний  $N_2^*$  из колебательно-возбуждённых молекул азота  $N_2(X, v)$ .

3. Экспериментально исследовались процессы потерь атомов О в стационарной плазме О2 промежуточного диапазона давлений (10-100 Торр) в условиях высокого разогрева. Этот диапазон давлений практически не изучен, поскольку при таких условиях сложно поддерживать стационарный стабильный неравновесный разряд. Возможные каналы потерь атомов О включают в себя реакции рекомбинации на стенке разрядной камеры и в объёме разряда, и в целом эти реакции известны. Однако, их скорости зависят от величин газовой температуры, концентрации озона и атомов О как таковых в различных точках разряда (т.е. от их пространственного распределения). Кроме того, плазма непрерывно модифицирует свойства поверхности разрядной камеры изза физической и химической адсорбции атомов О, создания новых сайтов за счёт бомбардировки ионами и фотонами высоких энергий и теплового нагрева – значит, скорость потерь атомов О на поверхности также не постоянна и зависит от разрядных условий. Всё это делает плазму О2 промежуточного диапазона давлений сложным объектом для изучения. Основным итогом данной работы является выявленный механизм потерь атомов О в плазме О2 для указанных выше условий, а также полученная величина интегральной скорости таких потерь. Иными словами, показано, какие процессы потерь играют основную роль в объёме и на поверхности. Оказалось, что для объёмных потерь это трёхтельная рекомбинация О+О+О2→О2+О2, а на поверхности главным является канал рекомбинации атомов, приходящих из газовой фазы с высокой энергией, с физадсорбированными атомами  $O+O_{Ph} \rightarrow O_2+Ph$ . Особенность проведённого исследования заключается в использовании оптических диагностик для получения in situ радиальных распределений основных характеристик плазмы, влияющих на процессы потерь атомов О: (газовой температуры и приведённого поля), а также ключевых участников реакций рекомбинации атомарного кислорода (самих атомов О и озона О<sub>3</sub>). Данные по абсолютной концентрации атомов О в сочетании с

полученной интегральной скоростью потерь позволяют определить интегральную константу скорости генерации атомов O (т.е. диссоциации молекул  $O_2$ ). Это очень важный результат для планирующегося в будущем анализа с помощью самосогласованной модели разряда (аналогичной той, что использовалась при изучении кинетики атомов N), так как позволит верифицировать кинетическую схему модели, а также определить механизм диссоциации  $O_2$  в рассмотренных условиях. При таких давлениях и высоком разогреве могут включаться новые каналы диссоциации. В завершение, отметим, что в ходе исследований был предложен новый метод определения приведённого поля в объёме плазмы на основе модификации метода актинометрии атомов Ar и Kr.

#### Теоретическая и практическая значимость работы

Результаты валидации метода актинометрии (глава 1) представляют большой интерес в первую очередь для приложений — диагностика плазмы в самых разных плазменных реакторах, в том числе, промышленных, применяемых в микротехнологии. Верифицированные актинометрические сечения атомов, а также готовые актинометрические коэффициенты могут непосредственно применяться для актинометрии, если известна ФРЭЭ в плазме. В то же время, показано, что в некоторых ситуациях для успешного применения актинометрии достаточно упрощённого моделирования для получения ФРЭЭ, или даже приблизительной оценки температуры электронов.

Исследование кинетики атомов N (глава 2) в плазме ПС тлеющего разряда промежуточного диапазона давлений в камере с диэлектрическими стенками важно для понимания механизма диссоциации в азотной плазме. Исследование механизмов диссоциации азота в стационарных разрядах в достаточно широком диапазоне давлений позволит оптимизировать источники атомарного азота для различных технологий, связанных с обработкой и функционализацией новых материалов. Использованная кинетическая схема может быть также применена для моделирования разрядов других типов. Экспериментально полученная вероятность рекомбинации атомов N на кварцевой стенке в зависимости от условий разряда важна для моделирования азотной плазмы.

Представленные данные по кинетике атомов О (глава 3) в плазме емкостного разряда промежуточного диапазона давлений в камере с диэлектрическими стенками представляют как фундаментальный, так и практический интерес. Полученные результаты важны для моделирования разрядов такого типа и могут быть применены для создания новых источников радикалов (атомов О) не только в микротехнологии, но также и в целом ряде других приложений — например, при разработке газоразрядных кислородных лазеров, плазменных джетов (plasma jets), активно использующихся в биофизике, и ряде других.

#### Методология диссертационного исследования

В ходе исследований, описанных ниже, использовались как экспериментальный, так и теоретический подходы. К первой категории относятся разнообразные диагностики плазмы, в первую очередь, оптические, позволяющие проводить исследования непосредственно в разряде (*in situ*). Ключевой оптической диагностикой здесь является метод актинометрии, применявшийся для определения концентрации атомов О и N. Модификации этой диагностики (пространственно- и время-разрешённая актинометрия) использовались для определения скоростей потерь атомов О

и N в разряде в зависимости от условий. Ещё одна модификация – актинометрия по двум инертным газам (Ar и Kr) – применялась для определения величины приведённого поля Е/N в объёме разряда. Использовались методы оптической эмиссионной спектроскопии определения газовой температуры плазмы по спектру переходов двухатомных молекул (N<sub>2</sub> или O<sub>2</sub>). Спектроскопия поглощения УФ излучения применялась для определения концентрации озона в плазме O<sub>2</sub>. Для независимой верификации актинометрии в данной работе использовался метод масс-спектрометрии (Арреагаnce Potential Mass Spectroscopy, APMS). Также использовались зондовая диагностика (зонд Ленгмюра) для получения информации о функции распределения электронов по энергии (ФРЭЭ).

Независимо, ряд вопросов исследовался теоретически. В тех случаях, когда это было допустимо, для нахождения в первом приближении ФРЭЭ в плазме применялся широко известный решатель уравнения Больцмана для случая однородной плазмы – программный пакет BOLSIG+. В первую очередь, для качественного объяснения физики процессов, происходящих на поверхности стенки разрядной камеры и в объёме разряда, применялись аналитические модели. Наконец, при изучении кинетики атомов азота в плазме N<sub>2</sub>, результаты эксперимента анализировались с помощью самосогласованной 1-D модели разряда, которую следует рассматривать как независимый численный эксперимент. При этом, величины ключевых характеристик разряда, полученные экспериментальным путём, сравнивались с предсказаниями модели, обеспечивая таким образом хорошую «синхронизацию» экспериментального и теоретического подходов.

#### Положения, выносимые на защиту

- Применение методов актинометрии, масс-спектрометрии и зонда Ленгмюра позволило впервые экспериментально верифицировать теоретическое сечение возбуждения электронным ударом состояния N(3p <sup>4</sup>P<sup>0</sup>) атома азота, используемое в методе актинометрии. Показано, что амплитуда теоретического сечения не нуждается в поправке в пределах погрешности экспериментальной верификации.
- 2. Методы оптической эмиссионной спектроскопии, включая метод актинометрии, позволили экспериментально определить эффективную константу скорости диссоциации азота  $k_{diss}^{eff}(E/N)$  в плазме чистого  $N_2$  в широком диапазоне значений приведённого электрического поля E/N.
- 3. Совокупность экспериментальных данных, полученных для плазмы положительного столба тлеющего разряда в азоте, позволила верифицировать кинетическую схему процессов самосогласованной одномерной модели разряда. Анализ механизма диссоциации молекул N<sub>2</sub> в плазме, проведенный на основе данной модели, позволил выделить основной канал диссоциации, реализующийся в плазме промежуточного диапазона давлений это диссоциация через возбуждение прямым электронным ударом предиссоционных состояний N<sub>2</sub> из колебательно-возбуждённых молекул азота N<sub>2</sub>(X, v).
- 4. Методы время- и пространственно-разрешённой актинометрии совместно с аналитическим моделированием поверхностной и объёмной рекомбинации атомов кислорода позволили определить механизм и величину скорости потерь атомов O(<sup>3</sup>P) в плазме чистого О<sub>2</sub> промежуточного диапазона давлений (10-100 Topp) при высоких удельных энерговкладах.

#### Степень достоверности

Результаты актинометрии и масс-спектрометрии атомов кислорода при низких давлениях с использованием верифицированных во многих независимых работах соответствующих сечений возбуждения демонстрируют хорошее согласие, что подтверждает правомерность предложенного здесь подхода для верификации актинометрических сечений возбуждения других атомов (например, N и F), а также позволяет изучить влияние ФРЭЭ на точность актинометрии. Сами актинометрические коэффициенты для атомов фтора, полученные здесь, согласуются с данными из независимых источников [8], что также косвенно подтверждает правомерность этого подхода.

Экспериментальные данные, полученные в рамках изучения кинетики атомов N в плазме  $N_2$ , подтверждаются результатами самосогласованного моделирования, использующего наиболее актуальный на данный момент набор сечений и констант реакций. Результаты аналитических моделей поверхностных процессов в плазме  $N_2$  и  $O_2$  находятся в хорошем согласии литературными данными.

Результаты по кинетике атомов О в плазме О<sub>2</sub>, полученные используя различные независимые подходы (пространственно- и время-разрешённая актинометрия, комбинированное аналитическое моделирование процессов на поверхности и в объёме) согласуются с друг с другом в широком диапазоне разрядных условий.

#### Личный вклад

Автор принимал активное участие в постановке всех описанных ниже исследований. Экспериментальные результаты, представленные здесь, получены либо самим автором, либо при его активном участии. Для данной работы автор наладил ряд ключевых диагностик плазмы, включая пространственно- и время-разрешённую актинометрию, методы оптической эмиссионной спектроскопии для определения газовой температуры плазмы и метод оптической спектроскопии поглощения для определения концентрации озона в разряде. Автор принимал участие в разработке аналитической модели поверхностных процессов в N<sub>2</sub> плазме, а также использовал эту модель для интерпретации результатов эксперимента. Кроме того, автором была проведена автоматизация применявшихся здесь диагностик плазмы, включающая автоматизацию научного оборудования, измерительного процесса, обработки полученных данных и сохранения их в электронную базу данных лаборатории. Также, автором был создан экспериментальный стенд для изучения плазмы О<sub>2</sub> промежуточного диапазона давлений. Полученные в ходе этой работы материалы были подготовлены автором в виде публикаций, а также представлены на нескольких научных конференциях.

#### Апробация результатов

Материалы исследований докладывались на десяти международных конференциях:

- 1. Двадцатая международная конференция студентов, аспирантов и молодых учёных «Ломоносов». Россия, г. Москва, 2013.
- 2. XLI Международная конференция по физике плазмы и УТС (управляемого термоядерного синтеза). Россия, г. Звенигород, 2014.
- 3. Всероссийская (с международным участием) конференция «Физика низкотемпературной плазмы» ФНТП 2014. Россия, г. Казань, 2014.
- 4. 6-й международный симпозиум и летняя школа по физике плазмы (6th International Workshop and Summer School on Plasma Physics, IWSSPP-6). Болгария, г. Китен, 2014.
- 5. 67-я ежегодная конференция по газовой электронике (67th Annual Gaseous Electronics Conference). США, штат Северная Каролина, г. Роли, 2014.
- 6. 69-я ежегодная конференция по газовой электронике (69th Annual Gaseous Electronics Conference). Германия, г. Бохум, 2016.
- 7. Всероссийская (с международным участием) конференция «Физика низкотемпературной плазмы» ФНТП 2017. Россия, г. Казань, 2017.
- 8. Международная конференция по физике и химии горения. Россия, г. Самара, 2018.
- 9. 71-я ежегодная конференция по газовой электронике (71th Annual Gaseous Electronics Conference). США, штат Орегон, г. Портленд.
- 10. XLVI Международная конференция по физике плазмы и УТС (управляемому термоядерному синтезу). Россия, г. Звенигород, 2019.

#### Публикации

Материалы диссертации опубликованы в четырёх печатных изданиях в рецензируемых журналах, индексируемых Web of Science и Scopus. Список публикаций автора по теме диссертации приведён в конце.

#### Объём и структура работы

Диссертация состоит из введения, трёх глав, заключения, списка публикаций по теме диссертации и списка литературы. Полный объём диссертации составляет 146 страниц, включая 39 рисунков, 9 таблиц. Список литературы содержит 256 наименований.

#### Содержание работы

Во введении к данной диссертации была определена актуальность рассматриваемой темы. Приведены примеры, в которых встречается плазма газов N<sub>2</sub> и O<sub>2</sub> – как в природе, так и в многочисленных приложениях – в особенности, в микроэлектронике, где плазменные источники радикалов (атомов О и N) активно применяются для функционализации материалов. Проведён обзор степени разработанности рассматриваемой тематики, в котором был сделан акцент на недостатке на сегодняшний день экспериментальных исследований кинетики атомов О и N в плазме, особенно в условиях промежуточного диапазона давлений, и проистекающем отсюда недостаточном уровне понимания. Кратко сформулированы основные цели и задачи исследования. Дано обоснование научной новизны, теоретической и практической значимости работы. Коротко описана методология диссертационного исследования. Обоснована достоверность полученных результатов и описан личный вклад автора в проведённых исследованиях. Сформулированы положения, выносимые на защиту. Приведён перечень конференций, на которых докладывались основные результаты, изложенные в диссертации. Указано общее количество публикаций автора по теме исследования. В конце введения также приведён список аббревиатур и сокращений, использовавшихся в тексте диссертации.

<u>Глава 1</u> посвящена проблеме верификации метода актинометрии для измерения плотности атомов О и N. Для этой задачи была создана экспериментальная установка, показанная на рисунке <u>1</u>. Источником радикалов — атомов О и N служила плазма индукционного разряда (inductively coupled plasma, ICP), позволяющая добиваться высоких концентраций атомов. Ниже, в зоне отделённой от ICP разряда экранами, блокирующими проникновение плазмы и излучения, которая в зарубежной литературе называется «downstream zone», зажигался емкостной разряд (сарасіtively coupled plasma, CCP) малой мощности для «подсвечивания» газа, необходимого для применения актинометрии. Для верификации этой оптической диагностики, в этой же области применялись две независимые диагностики: 1) масс-спектрометрия (Appearance Potential Mass Spectrometry, APMS), и 2) зонд Ленгмюра. Таким образом, все три диагностики были применены локально в одной и той же области плазмы емкостного разряда. В ходе экспериментов определялись концентрации атомов методами актинометрии и APMS, зонд Ленгмюра использовался для получения информации о ФРЭЭ в плазме.

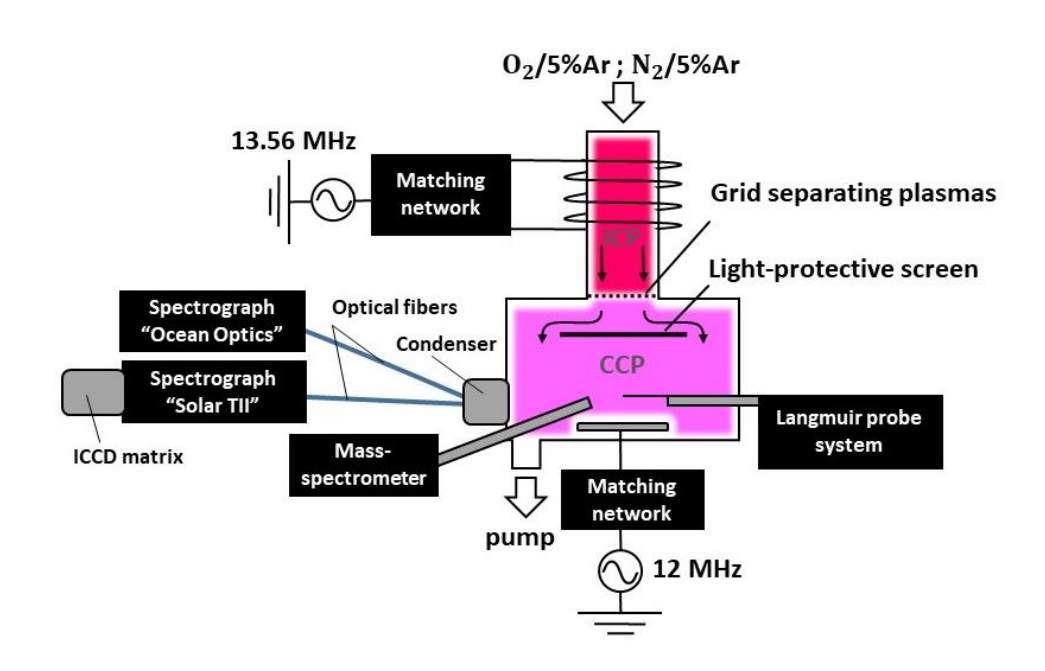


Рисунок 1. Схема экспериментальной установки.

Поскольку в литературе существуют достоверные и верифицированные сечения возбуждения атомов кислорода, необходимые для методов актинометрии и масс-спектрометрии, то для кислородной плазмы ожидалось хорошее соответствие результатов актинометрии и метода APMS, что и наблюдалось в данном эксперименте в пределах его погрешности (см. рис. 2(а)). Это соответствие позволило косвенно проверить применимость метода масс-спектрометрии в рассматриваемых экспериментальных условиях.

На следующем этапе была проведена верификация сечения возбуждения электронным ударом состояния  $N(3p^4P^o)$ , используемого в актинометрии атомов N. При этом форма зависимости данного сечения от энергии электронов, полученная с помощью квантово-механического расчёта [9], принималась верной, и вопрос поэтому заключался в правильном выборе «амплитуды» сечения, при которой результаты актинометрии и масс-спектрометрии давали бы одинаковые результаты для концентрации атомов. Оказалось, что известное теоретическое сечение возбуждения прямым электронным ударом  $\sigma_e^{dir}$  уже может быть непосредственно использовано в актинометрии атомов азота – то есть, результаты APMS и актинометрии уже находятся в хорошем соответствии в пределах погрешности эксперимента (см. рис.  $\underline{2}(\delta)$ ). Этим же путём были верифицированы и найдены поправочные коэффициенты для теоретических сечений возбуждения двух состояний атома фтора  $F(3p^2P^o)$  и  $F(3p^4D^o)$ , используемых в актинометрии атомов  $F(4n^2P^o)$  и  $F(4n^2P^o)$ , используемых в актинометрии атомов  $F(4n^2P^o)$  и  $F(4n^2P^o$ 

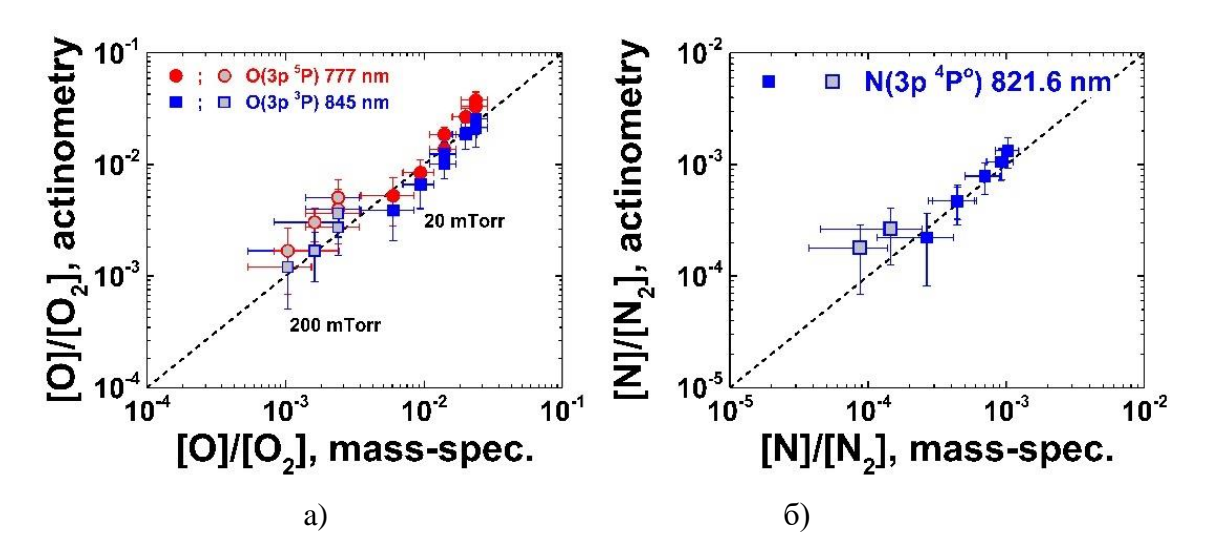


Рисунок 2. Результаты актинометрии, отложенные в зависимости от результатов, полученных с помощью масс-спектрометрии для случаев атомов O (a) и атомов N (б). Сплошные символы – результаты для 20 мТорр, заполненные серым — для 200 мТорр. Пунктиром обозначен случай совпадения результатов.

Далее, было изучено влияние ФРЭЭ на результаты актинометрии. Более конкретно, изучалось поведение в зависимости от типа  $\Phi P \ni \exists$  актинометрических коэффициентов ( $C_v^X$ ), связывающих отношение интенсивностей спектральных линий  $(I_X/I_Y)$  изучаемого атома (X) и актинометра (Y) с отношением их концентраций ([X]/[Y]). В эксперименте наблюдались различные типы ФРЭЭ: максвелловская, дрювестейновская, би-максвелловская (двухтемпературная). Чтобы понять степень влияния  $\Phi$ РЭЭ, коэффициенты  $C_v^X$  для каждого атома рассчитывались для целого семейства функций распределения электронов по энергии, типичных для разрядной плазмы, встречающейся в различных приложениях. Таким образом, рассматривались перечисленные три типа  $\Phi P \ni \ni$ , а также промежуточные формы (см. рис. <u>3</u>). Как показали расчеты, форма ФРЭЭ слабо влияет на величину  $C_{v}^{X}$  для рассмотренных типов форм. Можно даже сказать, что изменение актинометрического коэффициента при изменении типа ФРЭЭ оказалось в пределах погрешности метода актинометрии как такового. Стоит подчеркнуть, что это имеет место лишь для указанных, не «экзотических» типов ФРЭЭ в квазинейтральной области разрядной плазмы. Эти результаты показывают, что измерение ФРЭЭ зондом Ленгмюра не является обязательным для применения метода актинометрии, и во многих случаях достаточно упрощённого нуль-мерного моделирования для получения информации о функции распределения (например, с помощью программы BOLSIG+ [10]). В некоторых случаях вполне достаточно даже приблизительной оценки температуры электронов. Была также исследована связь между формой зависимости актинометрического коэффициента от электронной температуры Те и соотношением между Те и энергией излучающих состояний атома и актинометра.

Результаты, описанные в этой главе, опубликованы в работе [ $\underline{\mathbf{A1}}$ ] и представлены на конференциях [ $\underline{\mathbf{6-7}}$ ].

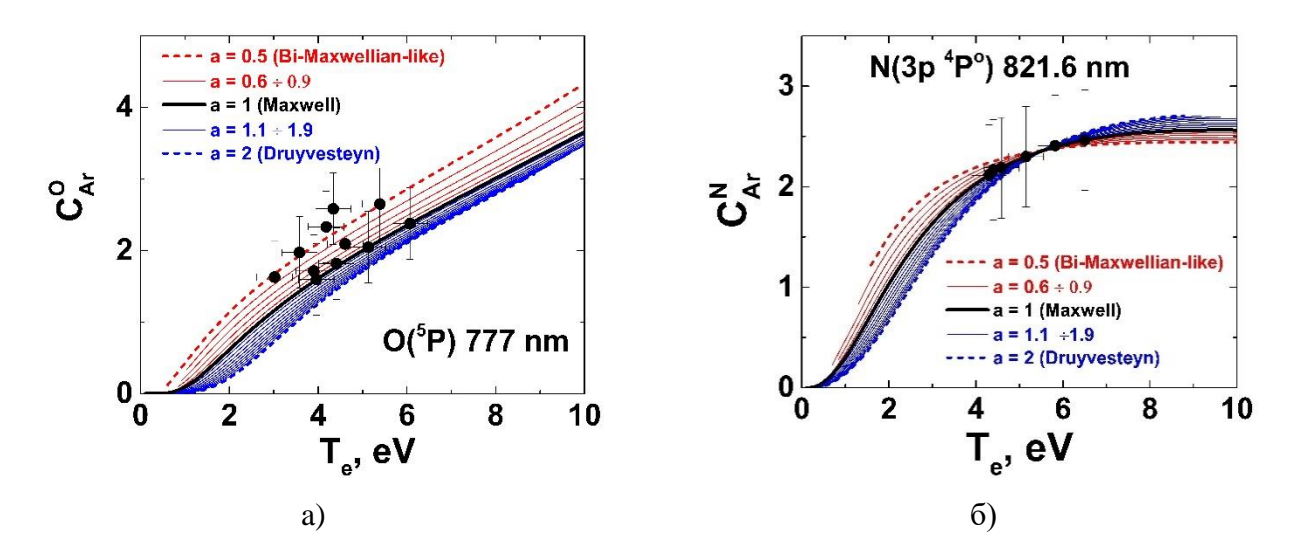


Рисунок 3. Актинометрические коэффициенты для спектральных линий (a) 777 нм атомов кислорода и (б) 821.6 нм атомов азота. Чёрная сплошная кривая соответствует расчётам с максвелловской ФРЭЭ, тогда как красные и синие кривые иллюстрируют случаи близкие би-максвелловскому и дрювестейновскому, соответственно.

<u>Глава 2</u> посвящена изучению кинетики атомов азота (в основном состоянии,  $N(^4S)$ ) в плазме положительного столба (ПС) тлеющего разряда постоянного тока в чистом  $N_2$  в промежуточном диапазоне давлений (5-40 Торр). Разрядная установка (см. рис. <u>4</u>) была спроектирована таким образом, чтобы эффективно применять разнообразные методы оптической эмиссионной спектроскопии (ОЭС) для изучения плазмы *in situ*.

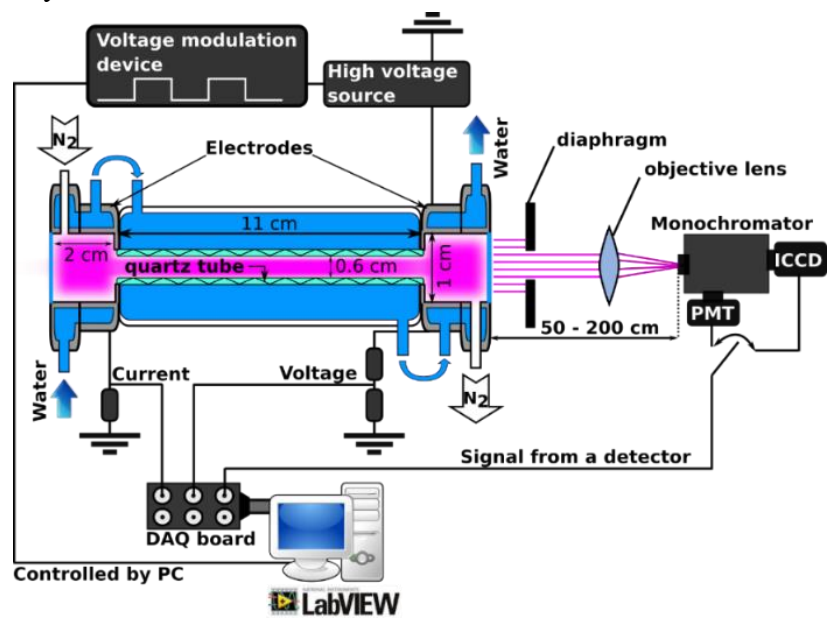


Рисунок 4. Схема экспериментальной установки.

Экспериментально были определены ключевые характеристики плазмы в рассмотренном диапазоне условий:

- Электрическое поле Е в ПС из измерений приложенного напряжения
- Газовой температуры  $T_{gas}$  и приведённого поля E/N по спектру  $2^+$  и  $1^-$  систем азота

- Степени диссоциации  $[N(^4S)]/[N_2]$  методом актинометрии по аргону
- Вероятности рекомбинации атомов N на поверхности разрядной камеры (кварцевой трубки) методом пространственно-разрешённой актинометрии

Также, процессы на внутренней поверхности трубки с участием атомов N были проанализированы с помощью аналитической модели (см. рис.  $\underline{5}(\Gamma)$ ). Из сравнения с результатами эксперимента можно сделать вывод, что на поверхности стенки происходит рекомбинация атомов N с физ- и хемо-сорбированными атомами азота, согласно механизму Элея-Ридела [11]. Полученные в результате такого моделирования энергия активации процесса рекомбинации и энергии десорбции атомов и молекул азота подтверждаются результатами других исследований [11], [12].

В итоге, с помощью этого набора полученных экспериментальных данных была определена эффективная (интегральную по всем возможным каналам) константа скорости диссоциации  $k_{diss}^{eff}$  в широком диапазоне E/N (от 40 до 120 Тд). Независимо, величина  $k_{diss}^{eff}$  (E/N) была получена с помощью самосогласованной одномерной (1-D) модели разряда, которую следует рассматривать как независимый численный эксперимент. Данная модель использует наиболее актуальные сечения процессов, связанных с электронным ударом: диссоциации, ионизации, а также резонансного возбуждения колебательных уровней  $N_2(X, v)$  и сверхупругих столкновений. Однако, в многочисленных работах по кинетике азотной плазмы нет единого мнения о механизме протекания ряда процессов тушения возбужденных состояний молекул и атомов азота и перераспределения выделяющейся энергии, которая может идти в тепло или на возбуждение колебаний молекулы азота в основном электронном состоянии  $N_2(X, v)$ . Поэтому, в моделировании были рассмотрены два крайних сценария. В сценарии «А» предполагалось, что выделяющаяся энергия в ключевых экзотермических реакциях идёт на нагрев газа, тогда как в сценарии «Б» предполагались, что эта энергия расходуется на возбуждение колебаний  $N_2(X, v)$ . Сравнение результатов самосогласованного моделирования и эксперимента по E,  $T_{gas}$ ,  $[N(^4S)]/[N_2]$  и  $k_{diss}^{eff}$  демонстрирует хорошее согласие в пределах погрешности для случая сценария Б (см. рис. 5(а, в), 6). Это позволяет говорить о верификации кинетической схемы модели, а также о выявлении механизма диссоциации  $N_2$  в азотной плазме промежуточного диапазона давлений – выяснилось, что механизм диссоциации обеспечивается прямым электронным ударом через возбуждение предиссоционных состояний  $N_2^*$  из колебательно-возбуждённых молекул азота  $N_2(X, v)$ .

Результаты, описанные в этой главе, опубликованы в работах  $[\underline{\mathbf{A2}}]$ ,  $[\underline{\mathbf{A3}}]$  и представлены на конференциях  $[\underline{\mathbf{1-5}}]$ .

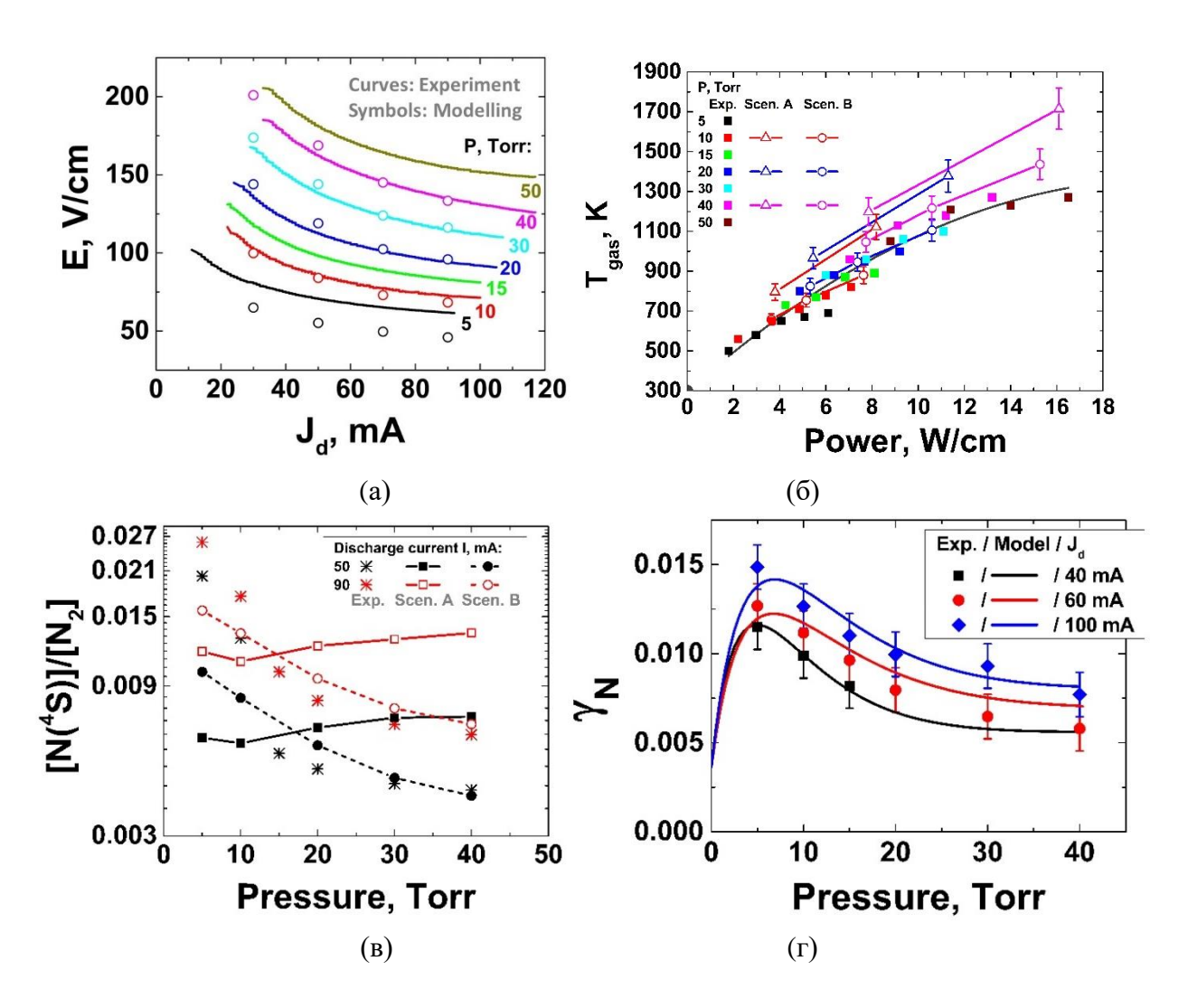


Рисунок 5. (а)-(в) Ключевые характеристики плазмы, полученные в эксперименте и с помощью самосогласованной 1-D модели разряда: (а) электрическое поле, (б) газовая температура, (в) степень диссоциации в приосевой области ПС разряда. На рисунках (а)-(в) во всех случаях указан смысл символов и гладких кривых. Рисунок (г) показывает результаты эксперимента и аналитической модели поверхностных процессов для вероятности рекомбинации атомов N на поверхности стенки кварцевой трубки.

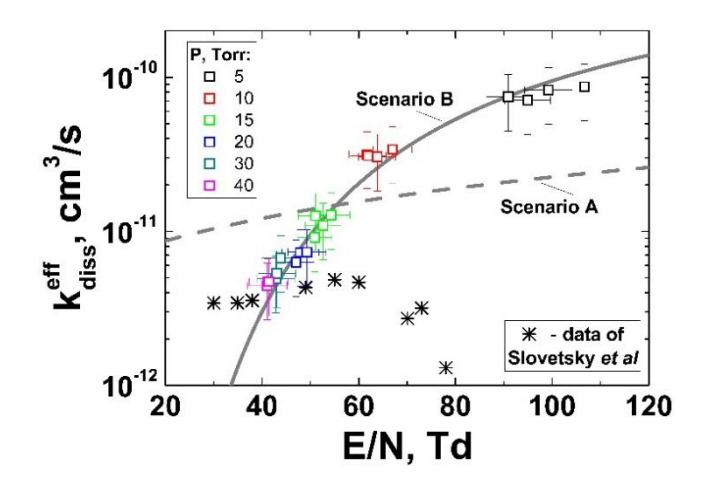


Рисунок 6. Эффективная константа скорости диссоциации в зависимости от приведённого электрического поля и давления. Открытые символы и гладкие кривые — результаты данной работы (эксперимент и самосогласованное 1-D моделирование, соответственно). Результаты [13] (Словецкий и др.) показаны звёздочками.

В <u>главе 3</u> было проведено изучение потерь атомов кислорода (в основном состоянии, O(<sup>3</sup>P)) в плазме ВЧ емкостного разряда чистого О<sub>2</sub> промежуточного диапазона давлений (10-100 Торр). Напомним, здесь под потерями подразумеваются процессы, при которых атомы О переходят в новое химическое состояние, являющееся стабильным (в первую очередь, О<sub>2</sub>). В рассмотренном диапазоне давлений уже ожидается переход от преимущественно поверхностных потерь атомов к объёмным — то есть от ситуации, в которой рекомбинация атомов О происходит преимущественно на поверхности, к ситуации, когда объёмная рекомбинация также начинает играть важную роль. В исследовавшемся здесь разряде наблюдался высокий разогрев (>1000K) вследствие большой удельной вложенной мощности. При таких высоких температурах единственные реакции в объёме, приводящие к потерям атомов О с образованием стабильного продукта (молекулы О<sub>2</sub>), выглядят следующим образом [14], [15]:

$$O(^{3}P) + O_{3} \rightarrow O_{2} + O_{2}, k_{S4} = 8 \cdot 10^{-12} \cdot \exp(-2080/T_{gas}[K]) \text{ cm}^{3}/c \tag{III.1}$$

$$0(^3P) + 0(^3P) + 0_2 \rightarrow 0_2 + 0_2, k_{S5} = 3.8 \cdot 10^{-30} \cdot \exp(-170/T_{gas}[K])/T_{gas}[K] \text{ cm}^6/c \text{ (III.2)}$$

Особенностью объекта исследования данной главы является то, что электроды были вынесены наружу разрядной камеры (кварцевой трубки) — таким образом вся внутренняя поверхность разрядной камеры являлась диэлектрической, что позволило достигать высоких степеней диссоциации  $O_2$ , так как вероятность потерь атомарного кислорода на диэлектрической (в данном случае — кварцевой) поверхности обычно намного меньше, чем на металлической. Разрядная установка специально была спроектирована таким образом, чтобы можно было эффективно применять оптические диагностики для изучения плазмы *in situ* (рисунок  $\underline{7}$ ). Для определения вложенной в разряд мощности локально измерялись амплитуда тока разряда и напряжения на электродах, а также сдвига фаз между напряжением и током.

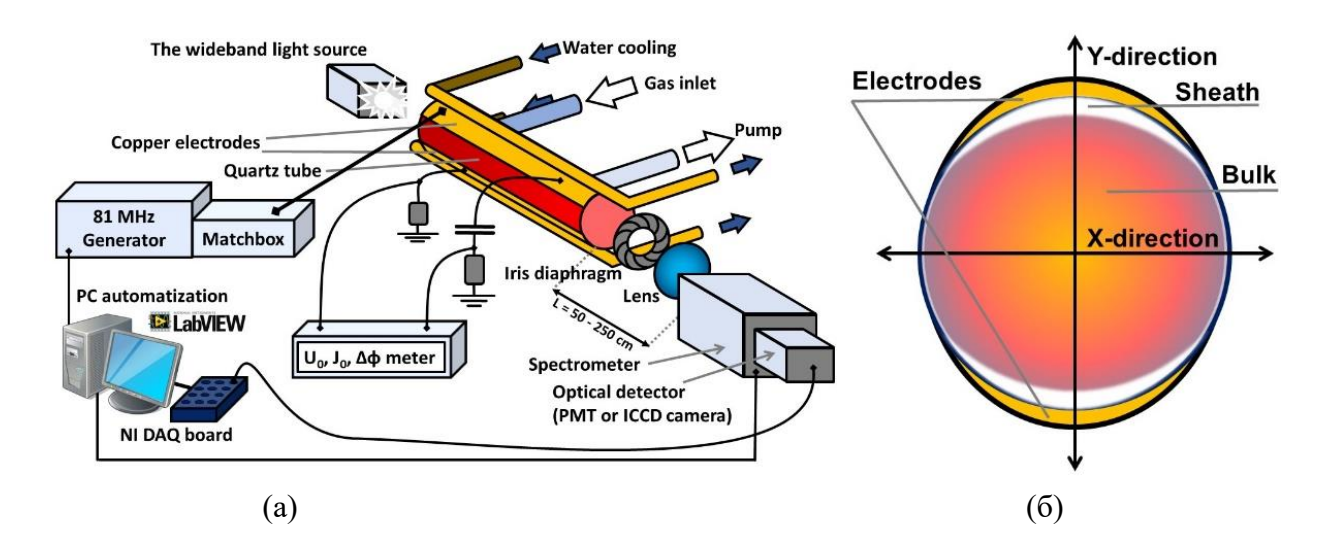


Рисунок 7. (а) Экспериментальная установка; (б) Фронтальный вид разрядной трубки. Направления пространственно-разрешённых оптических диагностик: симметрично вдоль («X-direction») и поперёк («Y-direction») электродов, то есть, в горизонтальном и вертикальном положениях, соответственно. Электроды, излучение из приповерхностных областей (особенно яркое вблизи электродов) и плазменный квази-однородный объём проиллюстрированы на рисунке (б).

Таким образом, с помощью методов оптической эмиссионной спектроскопии и спектроскопии поглощения были получены радиальные распределения (профили):

- газовой температуры по спектру полосы  $O_2(b^1\Sigma_g^+, v = 0) \to O_2(X^3\Sigma_g^-, v = 0)$
- приведённого поля E/N методом актинометрии атомов Ar и Kr
- концентрации атомов О методом актинометрии по криптону
- концентрации О<sub>3</sub> методом УФ спектроскопии поглощения

На основе этой совокупности экспериментальных данных был проанализирован вклад поверхностной и объёмной рекомбинации в потери атомов кислорода в рассматриваемых условиях с помощью независимой комбинированной аналитической модели [7]. Аналогично исследованию кинетики атомов N (глава 2), рассматривались процессы поверхностной рекомбинации с участием физ- и хемо-сорбированных атомов. Этот анализ показал большую важность наблюдаемых высоких температур в механизме потерь атомов О. Высокий разогрев приводит к значительному уменьшению скорости потерь атомов кислорода в объёме разряда. Моделирование показало, что из-за высокого разогрева и характерной формы профиля температуры, объёмная рекомбинация происходит в основном в тонком слое относительно холодного газа вблизи поверхности стенки. Полная скорость потерь (объёмная + поверхностная рекомбинация) оказывается довольно низкой и обеспечивает высокую степень диссоциации О2, что поддерживает высокий поток атомов О к стенке трубки. Также, высокие значения удельной вложенной мощности приводят к увеличению газовой температуры возле внутренней поверхности стенки трубки, а также температуры самой поверхности. Поэтому, уменьшается скорость объёмных потерь вблизи поверхности стенки. Одновременно, скорость потерь атомов О на поверхности растёт: из-за высокого потока к стенке количество адсорбированных атомов велико, и атомы О из газовой фазы приходят на поверхность с большой энергией – тем самым активация процессов рекомбинации с

адсорбированными атомами О происходит с большей вероятностью. Тем не менее, суммарный эффект заключается в том, что вклад объёмных и поверхностных рекомбинации атомов О важен и должен учитываться, что и было подтверждено в моделировании. Было показано, что при высокой плотности атомов кислорода возле стенки, трёхтельная рекомбинация (III.2) является основным каналом потерь атомов, тогда как рекомбинация с физ-адсорбированными атомами О является основным каналом потерь на поверхности стенки. Эти выводы иллюстрирует рисунок 8, наглядно показывающий радиальное распределение скоростей потерь атомов О в разрядной трубке. Наконец, моделирование позволило получить величины полных скоростей потерь атомов в трубке (рисунок 9).

Полные скорости потерь атомов О определялись также экспериментально, с помощью оптических диагностик — методов время- и пространственно-разрешённой актинометрии. Результаты обеих диагностик представлены на рисунках  $\underline{9}$  (а) и (б), соответственно. Видно, что полученные с помощью время-разрешённой актинометрии величины хорошо согласуются результатами модели. Однако, в случае пространственно-разрешённой актинометрии хорошее согласие наблюдается лишь для низких вложенных мощностей и высоких давлений. По всей видимости, это связано с невозможностью полностью устранить искажения радиальных профилей  $[O(^3P)]/N$  (N — концентрация нейтралов), возникающих из-за интенсивного излучения из пристеночных областей разряда.

В целом, кинетика атомов  $O(^3P)$  в плазме  $O_2$  промежуточного диапазона давлений представляется довольно сложной и требует как-минимум одномерного (1-D) самосогласованного моделирования для корректного описания, в то время как глобальные (нуль-мерные) модели в данном случае могут быть полезны только для простого анализа экспериментальных результатов (в первом приближении).

Результаты, описанные в этой главе, опубликованы в работе [ $\underline{\mathbf{A4}}$ ] и представлены на конференциях [ $\underline{\mathbf{8-10}}$ ].

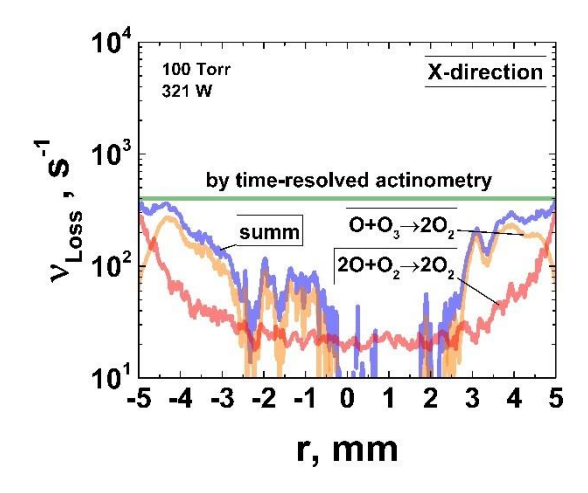


Рисунок 8. Пример радиальных профилей скоростей потерь атомов  $O(^3P)$ , рассчитанных с помощью экспериментально полученных профилей  $T_{gas}(r)$ ,  $[O(^3P)]/N(r)$  и  $[O_3](r)$ , для процессов ( $\underline{III.1}$ ) и ( $\underline{III.2}$ ). Для сравнения показан результат время-разрешённой актинометрии (зелёная горизонтальная линия).

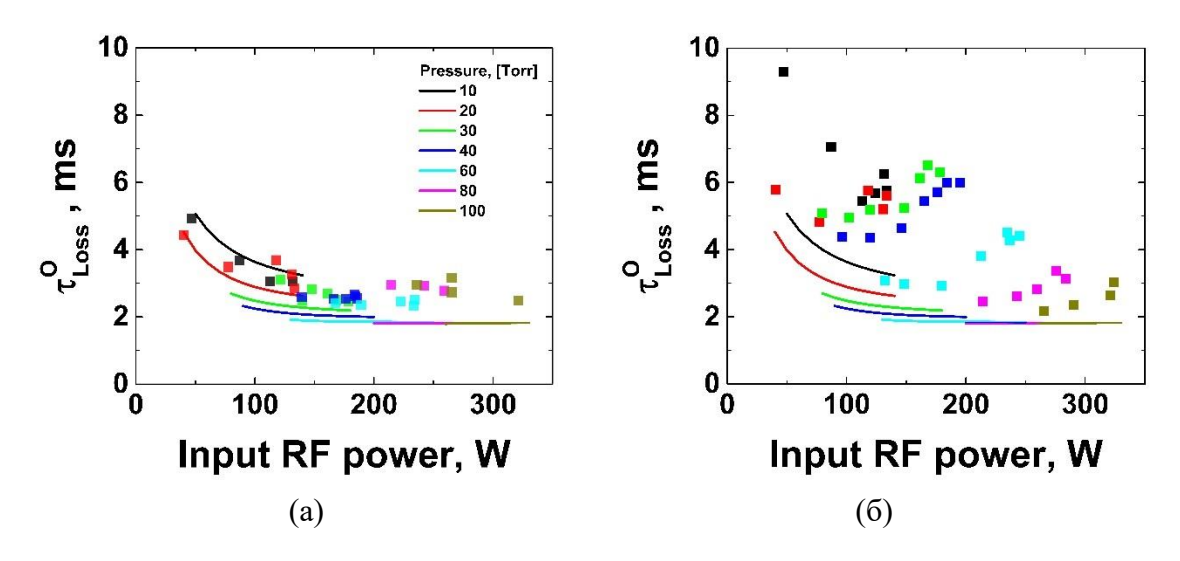


Рисунок 9. Характерные времена потерь атомов кислорода  $\tau_{Loss}^0 = (\nu_{Loss}^0)^{-1}$ , полученные с помощью время-разрешённой (а) и пространственно-разрешённой актинометрии (б) в зависимости от вложенной ВЧ мощности при различных давлениях. В обоих случаях, символы – результаты эксперимента (актинометрии). Сплошные кривые – результаты комбинированного моделирования потерь атомов О на поверхности трубки и в объёме разряда.

В <u>заключении</u> кратко сформулированы основные результаты и выводы данной диссертационной работы:

#### І. Верификация метода актинометрии для измерения плотности атомов О и N

В первой главе был представлен разработанный метод экспериментальной верификации актинометрических сечений возбуждения атомов.

1. С помощью этого подхода удалось экспериментально верифицировать актинометрическое сечение возбуждения состояния атома азота  $N(3p\ ^4P^0)$ .

- 2. Было исследовано поведение актинометрических коэффициентов для атомов О и N в зависимости от типа ФРЭЭ. В эксперименте наблюдались различные типы ФРЭЭ: максвелловская, дрювестейновская, би-максвелловская (двухтемпературная). Чтобы понять степень влияния ФРЭЭ, коэффициенты С<sup>X</sup><sub>Y</sub> для каждого атома были получены для целого семейства функций распределения электронов по энергии, типичных для разрядной плазмы, встречающейся в различных приложениях: рассматривались перечисленные три типа ФРЭЭ, а также промежуточные формы.
- 3. Была исследована связь между формой зависимости актинометрического коэффициента от электронной температуры  $T_e$  и соотношением между  $T_e$  и энергиями излучающих состояний изучаемого атома и актинометра.

### II. Исследование процессов, определяющих плотность атомов N в стационарной плазме N<sub>2</sub> промежуточного диапазона давлений

Было проведено экспериментально-теоретическое исследование кинетики атомов азота в плазме чистого  $N_2$  промежуточного диапазона давлений (5-40 Topp) тлеющего разряда постоянного тока в кварцевой трубке с термо-стабилизацией стенки.

- 1. С помощью оптических диагностики плазмы (где ключевой диагностикой является метод актинометрии) были получены данные для приведённого поля, газовой температуры, степени диссоциации и вероятности рекомбинации атомов N на внутренней поверхности стенки трубки. Было экспериментально продемонстрировано, что вероятность рекомбинации зависит от разрядных условий и не является константой, как утверждается в некоторых работах.
- 2. Была создана аналитическая модель процессов с участием атомов N на поверхности кварцевой разрядной камеры для анализа полученных в эксперименте данных по вероятности рекомбинации атомов на поверхности.
- 3. С помощью всей совокупности полученных экспериментальных данных была определена величина эффективной константы скорости диссоциации (т. е. интегральной по всем возможным каналам) в широком диапазоне величины приведённого поля Е/N (от 40 до 120 Тд).
- Также, совокупность полученных экспериментальных данных позволила верифицировать кинетическую схему самосогласованной одномерной модели разряда. В свою очередь, данная верифицированная модель позволила определить механизм диссоциации N<sub>2</sub> в рассматриваемых условиях.

### III. Исследование процессов, определяющих плотность атомов О в стационарной плазме O<sub>2</sub> промежуточного диапазона давлений

Было проведено исследование кинетики атомов кислорода в ВЧ плазме чистого O<sub>2</sub> промежуточного диапазона давлений (10-100 Topp) с помощью оптических диагностик плазмы и аналитической модели поверхностных и объёмных потерь атомов кислорода.

1. С помощью методов оптической эмиссионной спектроскопии и спектроскопии поглощения были получены радиальные распределения (профили) ключевых характеристик разряда: газовой температуры, приведённого поля, концентрации атомов О и молекул озона.

- 2. На основе этой совокупности экспериментальных данных был проанализирован вклад поверхностной и объёмной рекомбинации в потери атомов кислорода в рассматриваемых условиях с помощью независимой комбинированной аналитической модели. Анализ подтвердил важность как поверхностных, так и объёмных процессов потерь. Был выявлен механизм потерь атомов О в плазме О<sub>2</sub> в рассматриваемых условиях, и показано, что высокий разогрев играет важную роль в этом механизме.
- 3. С помощью аналитической модели была определена величина полной скорости потерь атомов О в зависимости от разрядных условий.
- 4. Независимо, полная скорость потерь атомов кислорода определялась с помощью методов время- и пространственно-разрешённой актинометрии. В целом, результаты актинометрии хорошо согласуются с результатами аналитической модели. Однако, в случае пространственно-разрешённой актинометрии согласие наблюдается лишь для низких вложенных мощностей и высоких давлений. По всей видимости, это связано с невозможностью полностью устранить искажения наблюдаемых радиальных профилей [O(³P)]/N при других режимах. Эти искажения возникают из-за интенсивного излучения из пристеночных областей разряда.

### Публикации автора по теме диссертации в рецензируемых журналах, индексируемых Scopus и Web of Science

<u>A1</u> Lopaev D. V., Volynets A. V., Zyryanov S. M., Zotovich A. I. and Rakhimov A. T. 2017 "Actinometry of O, N and F atoms" *Journal of Physics D: Applied Physics (United Kingdom)* **50** 075202. Doi: 10.1088/1361-6463/50/7/075202. **Impact Factor: 2.829.** 

<u>A2</u> Volynets A. V., Lopaev D. V. and Popov N. A. 2016 "Mechanism of N<sub>2</sub> dissociation and kinetics of N(<sup>4</sup>S) atoms in pure nitrogen plasma" *Journal of Physics: Conference Series (United Kingdom)* **768** 012006. Doi: 10.1088/1742-6596/768/1/012006. **Impact Factor: 0.24.** 

<u>A3</u> Volynets A. V., Lopaev D. V., Rakhimova T. V., Chukalovsky A. A., Mankelevich Y. A., Popov N. A., Zotovich A. I. and Rakhimov A. T. 2018 "N<sub>2</sub> dissociation and kinetics of N(<sup>4</sup>S) atoms in nitrogen DC glow discharge" *Journal of Physics D: Applied Physics (United Kingdom)* 51 364002. Doi: 10.1088/1361-6463/aad1ca. Impact Factor: 2.829.

<u>A4</u> Volynets A. V., Lopaev D. V., Zyryanov S. M., Bogdanova M. A. and Rakhimov A. T. 2019 "Volume and surface loss of O(<sup>3</sup>P) atoms in O<sub>2</sub> RF discharge in quartz tube at intermediate pressures (10 - 100 Torr)" *Journal of Physics D: Applied Physics (United Kingdom)* **52** 395203. Doi: 10.1088/1361-6463/ab28dc. **Impact Factor: 2.829.** 

#### Список литературы

- [1] K.-D. Weltmann *et al.*, "The future for plasma science and technology," *Plasma Process*. *Polym.*, vol. 16, no. 1, p. 1800118, Jan. 2019.
- [2] K. J. Kanarik, S. Tan, and R. A. Gottscho, "Atomic Layer Etching: Rethinking the Art of Etch," *J. Phys. Chem. Lett.*, vol. 9, no. 16, pp. 4814–4821, Aug. 2018.
- [3] A. Fukazawa, "Method of plasma-enhanced atomic layer etching." Google Patents, 19-Jul-2016.
- [4] M. R. Baklanov *et al.*, "Impact of VUV photons on SiO2 and organosilicate low-k dielectrics:

- General behavior, practical applications, and atomic models," *Appl. Phys. Rev.*, vol. 6, no. 1, p. 11301, Feb. 2019.
- [5] V. Cremers, R. L. Puurunen, and J. Dendooven, "Conformality in atomic layer deposition: Current status overview of analysis and modelling," *Appl. Phys. Rev.*, vol. 6, no. 2, p. 21302, Apr. 2019.
- [6] M. Kariniemi *et al.*, "Conformality of remote plasma-enhanced atomic layer deposition processes: An experimental study," *J. Vac. Sci. Technol. A*, vol. 30, no. 1, p. 01A115, Nov. 2011.
- [7] J. P. Booth *et al.*, "Oxygen (3P) atom recombination on a Pyrex surface in an O2 plasma," *Plasma Sources Sci. Technol.*, vol. 28, no. 5, p. 55005, 2019.
- [8] Y. Kawai, K. Sasaki, and K. Kadota, "Comparison of the fluorine atom density measured by actinometry and vacuum ultraviolet absorption spectroscopy," *Japanese J. Appl. Physics, Part 2 Lett.*, vol. 36, no. 9 A/B, 1997.
- [9] P. S. Ganas, E. J. Stone, E. C. Zipf, P. S. Ganas, E. J. Stone, and E. C. Zipf, "Excitation of atomic nitrogen by electron impact," *J. Chem. Phys.*, vol. 59, no. 10, pp. 5411–5414, 1973.
- [10] G. J. M. Hagelaar and L. C. Pitchford, "Solving the Boltzmann equation to obtain electron transport coefficients and rate coefficients for fluid models," *Plasma Sources Sci. Technol.*, vol. 14, no. 14, pp. 722–733, 2005.
- [11] Y. C. Kim and M. Boudart, "Recombination of O, N and H atoms on silica: kinetics and mechanism," *Langmuir*, vol. 7, no. 37, pp. 2999–3005, 1991.
- [12] D. V. Lopaev, E. M. Malykhin, and S. M. Zyryanov, "Surface recombination of oxygen atoms in O2 plasma at increased pressure: I. The recombination probability and phenomenological model of surface processes," *J. Phys. D. Appl. Phys.*, vol. 44, no. 1, p. 015201, 2011.
- [13] D.I. Slovetsky, *Mechanisms of Chemical Reactions in Nonequilibrium Plasmas (in Russian)*. Moscow: Nauka, 1980.
- [14] R. A. Young and G. Black, "Excited-State Formation and Destruction in Mixtures of Atomic Oxygen and Nitrogen," *J. Chem. Phys.*, vol. 44, no. 10, pp. 3741–3751, May 1966.
- [15] R. Atkinson *et al.*, "Evaluated kinetic and photochemical data for atmospheric chemistry: Volume I gas phase reactions of O<sub>x</sub>, HO<sub>x</sub>, NO<sub>x</sub> and SO<sub>x</sub> species," *Atmos. Chem. Phys.*, vol. 4, no. 6, pp. 1461–1738, 2004.